

Расчёт эффективных электрофизических характеристик в многомасштабной изотропной среде

Е. П. Курочкина¹, О. Н. Соболева²

¹*Институт теплофизики СО РАН, Новосибирск, Россия*

²*Институт вычислительной математики и математической геофизики СО РАН, Новосибирск, Россия*

e-mail: kurochkina@itp.nsc.ru, olga@nmsf.sscs.ru

В рамках метода подсеточного моделирования получены эффективные коэффициенты диэлектрической проницаемости и проводимости. Коррелированные поля диэлектрической проницаемости и проводимости моделируются мультипликативными каскадами с логарифмически нормальными распределениями вероятностей. Предполагается, что длина волны много больше максимального масштаба неоднородностей среды. Полученные теоретические результаты сравниваются с данными прямого численного моделирования.

Ключевые слова: уравнения Максвелла, эффективные коэффициенты, подсеточное моделирование, многомасштабные случайные среды.

Введение

В геофизических задачах крупные неоднородные включения (пласты, пропластки) учитываются в математической модели непосредственно с помощью граничных условий (см., например, [1–3]). Пространственное распределение мелкомасштабных неоднородностей редко известно точно и часто описывается случайными полями. Поэтому задачи для сред с вариациями физических параметров на всех масштабах требуют значительных вычислительных затрат. Традиционный подход к решению задач, включающих малые масштабы, состоит в поиске более простых моделей, требующих меньших вычислительных затрат, решение которых для физических величин, например, напряжённости электрического поля, плотности тока, было бы близко в среднем к решению первоначальной полной задачи. Построение таких моделей, правильно описывающих поведение решения в крупномасштабном пределе, в литературе известно как гомогенизация, огрубление сеток, подсеточное моделирование, расчёт эффективных коэффициентов [4–8]. Эти подходы наиболее развиты в теории стационарной фильтрации [6–10].

Экспериментально показано, что нерегулярность параметров естественных сред возрастает, когда масштаб измерений уменьшается [9]. В этом случае параметры многих сред могут быть описаны фракталами или мультипликативными каскадами, т. е. полями, которые сильно меняются при переходе от одного масштаба к другому [11–13]. Этот факт позволяет для построения эффективных коэффициентов применять метод подсеточного моделирования.

В настоящей работе с помощью метода подсеточного моделирования получены уравнения для эффективных коэффициентов в уравнениях Максвелла в случае, если про-

водимость и диэлектрическая проницаемость описываются мультипликативными логарифмически нормальными каскадами.

1. Постановка задачи

Согласно [14] уравнения Максвелла для монохроматических полей $\tilde{\mathbf{E}}(\mathbf{x}, t) = \text{Re} \times \times (\mathbf{E}(\mathbf{x}) e^{-i\omega t})$, $\tilde{\mathbf{H}}(\mathbf{x}, t) = \text{Re} (\mathbf{H}(\mathbf{x}) e^{-i\omega t})$ имеют вид

$$\begin{aligned} \text{rot} \mathbf{H}(\mathbf{x}) &= (-i\omega \varepsilon(\mathbf{x}) + \sigma(\mathbf{x})) \mathbf{E}(\mathbf{x}) + \mathbf{F}, \\ \text{rot} \mathbf{E} &= i\omega \mu \mathbf{H}, \end{aligned} \quad (1)$$

где \mathbf{E} и \mathbf{H} — векторы напряжённости электрического и магнитного полей; $\varepsilon(\mathbf{x})$ — диэлектрическая проницаемость; μ — магнитная проницаемость; $\sigma(\mathbf{x})$ — электропроводность; ω — циклическая частота; \mathbf{x} — вектор пространственных координат. Магнитная проницаемость μ равна магнитной проницаемости вакуума. В неограниченной области выполняются условия излучения от источника \mathbf{F} , т.е. на бесконечности решение системы уравнений (1) затухает. При $\sigma(\mathbf{x})/(\omega \varepsilon(\mathbf{x})) \gg 1$, когда токи проводимости значительно преобладают над токами смещения, диэлектрическая проницаемость среды $\varepsilon(\mathbf{x})$ слабо влияет на характеристики поля; амплитуда и фаза поля зависят в основном от электропроводности среды $\sigma(\mathbf{x})$. В этом случае задачу рассматривают в квазистационарном приближении. При больших сопротивлениях среды на высоких частотах появляется зависимость измеряемого сигнала от диэлектрической проницаемости. Циклическая частота, электропроводность и диэлектрическая проницаемость удовлетворяют неравенству $\sigma(\mathbf{x})/(\omega \varepsilon(\mathbf{x})) < 1$.

Для моделирования полей $\sigma(\mathbf{x})$, $\varepsilon(\mathbf{x})$ используется подход, подробно описанный в работе [15]. Пусть поле электропроводности $\sigma(\mathbf{x})$ известно. Это означает, что выполнено его измерение на некотором масштабе l_0 в каждой точке \mathbf{x} . Чтобы перейти к более грубой сетке масштабов, недостаточно сгладить $\sigma(\mathbf{x})_{l_0}$ по масштабу l , $l > l_0$, так как сглаженное поле не будет правильно отражать физический процесс, описываемый уравнениями (1) на интервале масштабов (l, L) , где L — максимальный масштаб неоднородности среды. Это объясняется тем, что флуктуации проводимости на интервале масштабов (l_0, l) коррелируют с флуктуациями напряжённости электрического поля \mathbf{E} и эти корреляции могут быть достаточно большими.

Для построения модели среды, как и в работе [16], рассматривается безразмерное поле ψ , равное отношению полей, полученных сглаживанием проводимости $\sigma(\mathbf{x})_{l_0}$ по двум различным близким к (l_0) масштабам l, l' . Обозначим через $\sigma(\mathbf{x})_l$ сглаженное по масштабу l поле $\sigma_{l_0}(\mathbf{x})$. Тогда $\psi(x, l, l') = \sigma(\mathbf{x})_{l'}/\sigma(\mathbf{x})_l$, $l' < l$. Случайное поле ψ меняется плавно по сравнению с полями $\sigma(\mathbf{x})_{l'}$, $\sigma(\mathbf{x})_l$. Раскладывая поле ψ в ряд относительно $l' - l$ и оставляя только члены первого порядка малости при $l' \rightarrow l$, получим уравнение

$$\frac{\partial \ln \sigma(\mathbf{x})_l}{\partial \ln l} = \varphi(\mathbf{x}, l), \quad (2)$$

где $\varphi(\mathbf{x}, l') = (\partial \psi(\mathbf{x}, l', l'y)/\partial y)|_{y=1}$. Фактически мелкомасштабные флуктуации поля φ могут наблюдаться только в некотором конечном диапазоне масштабов $l_0 < l < L$. Решение уравнения (2) имеет вид

$$\sigma_{l_0}(\mathbf{x}) = \sigma_0 \exp \left(- \int_{l_0}^L \varphi(\mathbf{x}, l_1) \frac{dl_1}{l_1} \right), \quad (3)$$

где σ_0 — константа. Согласно теореме о суммах независимых случайных полей [18], если дисперсия $\varphi(\mathbf{x}, l)$ в данной точке конечна, то при больших значениях L/l_0 интеграл в (3) стремится к полю с нормальным распределением вероятностей. Если дисперсия поля $\varphi(\mathbf{x}, l)$ бесконечна и существует невырожденное (не сосредоточенное в одной точке) предельное распределение суммы случайных величин, то это распределение является устойчивым. В данной работе предполагается, что поле $\varphi(\mathbf{x}, l)$ имеет нормальное распределение и изотропную однородную корреляционную функцию

$$\begin{aligned} \langle \varphi(\mathbf{x}, l) \varphi(\mathbf{y}, l') \rangle - \langle \varphi(\mathbf{x}, l) \rangle \langle \varphi(\mathbf{y}, l') \rangle = \\ = \Phi^{\varphi\varphi}(|\mathbf{x} - \mathbf{y}|, l, l') \delta(\ln l - \ln l') \end{aligned} \quad (4)$$

(угловые скобки означают статистическое усреднение). Из формулы (4) следует, что флуктуации поля φ в разных масштабах не коррелируют. Это обычное предположение для скейлинговых моделей соответствует тому факту, что статистическая зависимость становится незначительной в случае, если масштабы флуктуаций параметров различны по величине [16]. Если же среда масштабнoинвариантна, то для любого положительного значения K выполняется условие

$$\Phi^{\varphi\varphi}(|\mathbf{x} - \mathbf{y}|, l, l') = \Phi^{\varphi\varphi}(K|\mathbf{x} - \mathbf{y}|, Kl, Kl').$$

Коэффициент диэлектрической проницаемости $\varepsilon(\mathbf{x})$ моделируется мультипликативным каскадом так же, как поле проводимости:

$$\varepsilon_{l_0}(\mathbf{x}) = \varepsilon_0 \exp \left(- \int_{l_0}^L \chi(\mathbf{x}, l_1) \frac{dl_1}{l_1} \right). \quad (5)$$

Предполагается, что функция $\chi(\mathbf{x}, l)$ имеет нормальное распределение вероятностей и дельтокоррелирована по логарифму от масштаба l . Если диэлектрическая проницаемость для любого l удовлетворяет условию $\langle \varepsilon_l(\mathbf{x}) \rangle = \varepsilon_0$ и масштабнoинвариантна, то

$$\Phi_0^{\chi\chi} = 2 \langle \chi \rangle. \quad (6)$$

Корреляционная функция между полями проводимости и диэлектрической проницаемостью определяется корреляцией между полями $\chi(\mathbf{x}, l)$ и $\varphi(\mathbf{x}, l)$:

$$\Phi^{\varphi\chi}(\mathbf{x}, \mathbf{y}, l, l') = \langle \varphi(\mathbf{x}, l) \chi(\mathbf{y}, l') \rangle - \langle \varphi(\mathbf{x}, l) \rangle \langle \chi(\mathbf{y}, l') \rangle = \Phi^{\varphi\chi}(|\mathbf{x} - \mathbf{y}|, l, l') \delta(\ln l - \ln l'). \quad (7)$$

При не масштабнoинвариантной среде величины $\Phi_0^{\varphi\varphi}$, $\Phi_0^{\chi\chi}$, $\Phi^{\varphi\chi}$ зависят от масштаба l .

2. Подсеточная модель

Функции проводимости и диэлектрической проницаемости $\sigma(\mathbf{x}) = \sigma(\mathbf{x})_{l_0}$, $\varepsilon(\mathbf{x}) = \varepsilon(\mathbf{x})_{l_0}$ разделим на две компоненты относительно масштаба l . Крупномасштабные (надсеточные) компоненты $\sigma(\mathbf{x}, l)$, $\varepsilon(\mathbf{x}, l)$ получены статистическим усреднением по всем $\varphi(x, l_1)$ и $\chi(x, l_1)$ для $l_0 < l_1 < l$, $l - l_0 = dl$, где dl мало. Мелкомасштабные (подсеточные)

компоненты равны $\sigma'(\mathbf{x}) = \sigma(\mathbf{x}) - \sigma(x, l)$, $\varepsilon'(\mathbf{x}) = \varepsilon(\mathbf{x}) - \varepsilon(\mathbf{x}, l)$:

$$\begin{aligned}
 \varepsilon(\mathbf{x}, l) &= \varepsilon_0 \exp \left[- \int_l^L \chi(\mathbf{x}, l_1) \frac{dl_1}{l_1} \right] \left\langle \exp \left[- \int_{l_0}^l \chi(\mathbf{x}, l_1) \frac{dl_1}{l_1} \right] \right\rangle, \\
 \varepsilon'(\mathbf{x}) &= \varepsilon(\mathbf{x}, l) \left[\frac{\exp \left[- \int_{l_0}^l \chi(\mathbf{x}, l_1) \frac{dl_1}{l_1} \right]}{\left\langle \exp \left[- \int_{l_0}^l \chi(\mathbf{x}, l_1) \frac{dl_1}{l_1} \right] \right\rangle} - 1 \right], \quad \langle \varepsilon'(\mathbf{x}) \rangle = 0, \\
 \sigma(\mathbf{x}, l) &= \sigma_0 \exp \left[- \int_l^L \varphi(\mathbf{x}, l_1) \frac{dl_1}{l_1} \right] \left\langle \exp \left[- \int_{l_0}^l \varphi(\mathbf{x}, l_1) \frac{dl_1}{l_1} \right] \right\rangle, \\
 \sigma'(\mathbf{x}) &= \sigma(\mathbf{x}, l) \left[\frac{\exp \left[- \int_{l_0}^l \varphi(\mathbf{x}, l_1) \frac{dl_1}{l_1} \right]}{\left\langle \exp \left[- \int_{l_0}^l \varphi(\mathbf{x}, l_1) \frac{dl_1}{l_1} \right] \right\rangle} - 1 \right], \quad \langle \sigma'(\mathbf{x}) \rangle = 0. \tag{8}
 \end{aligned}$$

Из формул (8) следует, что с точностью до членов второго порядка малости

$$\begin{aligned}
 \varepsilon(\mathbf{x}, l) &\simeq \left[1 - \langle \chi \rangle \frac{dl}{l} + \frac{1}{2} \Phi_0^{\chi\chi}(l) \frac{dl}{l} \right] \varepsilon_l(\mathbf{x}), \\
 \sigma(\mathbf{x}, l) &\simeq \left[1 - \langle \varphi \rangle \frac{dl}{l} + \frac{1}{2} \Phi_0^{\varphi\varphi}(l) \frac{dl}{l} \right] \sigma_l(\mathbf{x}). \tag{9}
 \end{aligned}$$

Крупномасштабные компоненты напряжённости электрического и магнитного полей $\mathbf{E}(\mathbf{x}, l)$, $\mathbf{H}(\mathbf{x}, l)$ получаются как усреднённые решения системы уравнений (1), в которых крупномасштабные компоненты $\sigma(\mathbf{x}, l)$, $\varepsilon(\mathbf{x}, l)$ фиксированы, а мелкомасштабные $\sigma'(\mathbf{x})$, $\varepsilon'(\mathbf{x})$ — случайные поля. Подсеточные компоненты электрического и магнитного полей равны $\mathbf{E}'(\mathbf{x}) = \mathbf{E}(\mathbf{x}) - \mathbf{E}(\mathbf{x}, l)$, $\mathbf{H}'(\mathbf{x}) = \mathbf{H}(\mathbf{x}) - \mathbf{H}(\mathbf{x}, l)$. Подставим выражения для $\mathbf{H}(\mathbf{x})$, $\mathbf{E}(\mathbf{x})$, $\sigma(\mathbf{x})$, $\varepsilon(\mathbf{x})$ в систему уравнений (1) и усредним по мелкомасштабным компонентам:

$$\begin{aligned}
 \text{rot} \mathbf{H}(\mathbf{x}, l) &= (-i\omega\varepsilon(\mathbf{x}, l) + \sigma(\mathbf{x}, l)) \mathbf{E}(\mathbf{x}, l) + \langle (-i\omega\varepsilon' + \sigma') \mathbf{E}' \rangle + \mathbf{F}, \\
 \text{rot} \mathbf{E}(\mathbf{x}, l) &= \mu i\omega \mathbf{H}(\mathbf{x}, l). \tag{10}
 \end{aligned}$$

Подсеточный член $\langle (-i\omega\varepsilon' + \sigma') \mathbf{E}' \rangle$ в системе (10) не известен и не может не учитываться без предварительной оценки. Несмотря на то что мелкомасштабные компоненты ε' , σ' малы, корреляция с подсеточной напряжённостью электрического поля может быть значительной. Оценка этого члена определяет подсеточную модель. Подсеточный член оценивается с помощью теории возмущений. Вычитая систему (10) из системы (1) и оставляя только члены первого порядка малости, получим подсеточные уравнения

$$\begin{aligned}
 \text{rot} \mathbf{H}' &= (-i\omega\varepsilon(\mathbf{x}, l) + \sigma(\mathbf{x}, l)) \mathbf{E}' + (-i\omega\varepsilon'(\mathbf{x}) + \sigma'(\mathbf{x})) \mathbf{E}(\mathbf{x}, l), \\
 \text{rot} \mathbf{E}' &= \mu i\omega \mathbf{H}'. \tag{11}
 \end{aligned}$$

Переменная состояния $\mathbf{E}(\mathbf{x}, l)$ в правой части (11) считается известной. Решение системы уравнений (11) равно [19]

$$E'_\alpha = \frac{1}{4\pi} i\omega\mu \int \frac{1}{r} e^{ikr} (-i\omega\varepsilon'(\mathbf{x}') + \sigma'(\mathbf{x}')) E_\alpha(\mathbf{x}', l) d\mathbf{x}' + \\ + \frac{1}{4\pi (-i\omega\varepsilon(\mathbf{x}, l) + \sigma(\mathbf{x}, l))} \frac{\partial}{\partial x_\alpha} \frac{\partial}{\partial x_\beta} \int \frac{1}{r} e^{ikr} (-i\omega\varepsilon'(\mathbf{x}') + \sigma'(\mathbf{x}')) E_\beta(\mathbf{x}', l) d\mathbf{x}', \quad (12)$$

где $r = |\mathbf{x} - \mathbf{x}'|$, $k^2 = \omega\mu(\omega\varepsilon(\mathbf{x}, l) + i\sigma(\mathbf{x}, l))$. Для определённости выбрано то значение корня, при котором $\text{Re } k > 0$, $\text{Im } k > 0$. Из (12) следует, что подсчетный член в (10) равен

$$\langle (-i\omega\varepsilon'(\mathbf{x}) + \sigma'(\mathbf{x})) E'_\alpha(\mathbf{x}) \rangle = \\ = \frac{1}{4\pi} i\omega\mu \int \int \frac{1}{r} e^{ikr} \langle (-i\omega\varepsilon'(\mathbf{x}) + \sigma'(\mathbf{x})) (-i\omega\varepsilon'(\mathbf{x}') + \sigma'(\mathbf{x}')) \rangle E_\alpha(\mathbf{x}', l) d\mathbf{x}' + \\ + \left\langle \frac{(-i\omega\varepsilon'(\mathbf{x}) + \sigma'(\mathbf{x}))}{4\pi (-i\omega\varepsilon(\mathbf{x}, l) + \sigma(\mathbf{x}, l))} \frac{\partial}{\partial x_\alpha} \frac{\partial}{\partial x_\beta} \int \frac{1}{r} e^{ikr} (-i\omega\varepsilon'(\mathbf{x}') + \sigma'(\mathbf{x}')) \right\rangle E_\beta(\mathbf{x}', l) d\mathbf{x}'. \quad (13)$$

Для полей, в которых небольшое изменение масштаба влечёт значительные изменения самого поля (это характерно для сильно меняющихся физических параметров, описываемых мультикапликативными каскадами), можно считать, что $\sigma(\mathbf{x}, l)$, $\varepsilon(\mathbf{x}, l)$, $\mathbf{E}(\mathbf{x}, l)$ и их производные меняются медленнее, чем σ' , ε' , \mathbf{E}' и их производные. Поэтому $\sigma(\mathbf{x}, l)$, $\varepsilon(\mathbf{x}, l)$, $E_\beta(\mathbf{x}', l)$ можно выносить за знак интеграла. Переходя к сферическим координатам, интегрируя по частям и оставляя только первые члены малости dl/l , при условии $\sigma(\mathbf{x})/(\omega\varepsilon(\mathbf{x})) < 1$ получим оценку

$$\langle (-i\omega\varepsilon'(\mathbf{x}) + \sigma'(\mathbf{x})) E'_\alpha(\mathbf{x}) \rangle \approx \\ \approx -\frac{1}{3} (2\mu\omega^2\varepsilon(\mathbf{x}, l) - i\omega\mu\sigma(\mathbf{x}, l)) \int_0^\infty r e^{ikr} \Phi^{\chi\chi}(r) dr \frac{dl}{l} i\omega\varepsilon(\mathbf{x}, l) E_\alpha(\mathbf{x}, l) + \\ + \frac{2}{3} (2\mu\omega^2\varepsilon(\mathbf{x}, l) - i\omega\mu\sigma(\mathbf{x}, l)) \int_0^\infty r e^{ikr} \Phi^{\chi\sigma}(r) dr \frac{dl}{l} \sigma(\mathbf{x}, l) E_\alpha(\mathbf{x}, l) + \\ + i\omega\mu\sigma(\mathbf{x}, l) \int_0^\infty r e^{ikr} \Phi^{\sigma\sigma}(r) dr \frac{dl}{l} \sigma(\mathbf{x}, l) E_\alpha(\mathbf{x}, l) + \\ + \frac{1}{3} \Phi_0^{\chi\chi} \frac{dl}{l} i\omega\varepsilon(\mathbf{x}, l) E_i(\mathbf{x}, l) + \left(\frac{1}{3} \Phi_0^{\chi\chi} - \frac{2}{3} \Phi_{(0)}^{\chi\sigma} \right) \frac{dl}{l} \sigma(\mathbf{x}, l) E_i(\mathbf{x}, l). \quad (14)$$

Если $\omega\mu L^2 |(i\omega\varepsilon(\mathbf{x}, l) + \sigma(\mathbf{x}, l))| \ll 1$, то интегралы в (14) малы [20]. Поскольку максимальный масштаб неоднородностей много меньше длины волны, это неравенство не является слишком ограничительным. Можно записать

$$\langle -i\omega\varepsilon'(\mathbf{x}) E'_\alpha(\mathbf{x}) \rangle + \langle \sigma'(\mathbf{x}) E'_\alpha(\mathbf{x}) \rangle \approx -\frac{1}{3} \Phi^{\chi\chi}(0) (-i\omega\varepsilon(\mathbf{x}, l) E_\alpha(\mathbf{x}, l)) \frac{dl}{l} - \\ - \left(\frac{2}{3} \Phi^{\chi\sigma}(0) - \frac{1}{3} \Phi^{\chi\chi}(0) \right) \frac{dl}{l} \sigma(\mathbf{x}, l) E_\alpha(\mathbf{x}, l). \quad (15)$$

Подставим (15) в (10):

$$\begin{aligned} \operatorname{rot}\mathbf{H}(\mathbf{x}, l) &= -i\omega\varepsilon_{l0} \exp\left[-\int_l^L \chi(\mathbf{x}, l_1) \frac{dl_1}{l_1}\right] \mathbf{E}(\mathbf{x}, l) + \sigma_{l0} \exp\left[-\int_l^L \varphi(\mathbf{x}, l_1) \frac{dl_1}{l_1}\right] \mathbf{E}(\mathbf{x}, l), \\ \operatorname{rot}\mathbf{E}(\mathbf{x}, l) &= i\omega\mu\mathbf{H}(\mathbf{x}, l), \\ \varepsilon_{l0} &= \left(1 - \frac{\Phi_0^{\chi\chi}}{3} \frac{dl}{l}\right) \left[1 + \left(\frac{\Phi_0^{\chi\chi}}{2} - \langle\chi\rangle\right) \frac{dl}{l}\right] \varepsilon_0, \\ \sigma_{l0} &= \left(1 - \left(\frac{2}{3}\Phi_0^{\chi\varphi}(0) - \frac{1}{3}\Phi_0^{\chi\chi}(0)\right) \frac{dl}{l}\right) \left[1 + \left(\frac{\Phi_0^{\varphi\varphi}}{2} - \langle\varphi\rangle\right) \frac{dl}{l}\right] \sigma_0. \end{aligned} \quad (16)$$

Из (16) с точностью до членов второго порядка по dl/l следует, что новые коэффициенты σ_{l0} и ε_{l0} удовлетворяют следующим равенствам:

$$\begin{aligned} \varepsilon_{l0} &= \varepsilon_0 + \left(\frac{\Phi_0^{\chi\chi}}{6} - \langle\chi\rangle\right) \varepsilon_0 \frac{dl}{l}, \\ \sigma_{l0} &= \sigma_0 + \left(-\frac{2}{3}\Phi_0^{\chi\varphi} + \frac{1}{3}\Phi_0^{\chi\chi} + \frac{1}{2}\Phi_0^{\varphi\varphi} - \langle\varphi\rangle\right) \sigma_0 \frac{dl}{l}. \end{aligned}$$

Устремляя в этих равенствах dl к нулю, получим уравнения

$$\begin{aligned} \frac{d \ln \varepsilon_{0l}}{d \ln l} &= \frac{1}{6} \Phi_0^{\chi\chi} - \langle\chi\rangle, \\ \frac{d \ln \sigma_{0l}}{d \ln l} &= -\frac{2}{3} \Phi_0^{\chi\varphi} + \frac{1}{3} \Phi_0^{\chi\chi} + \frac{1}{2} \Phi_0^{\varphi\varphi} - \langle\varphi\rangle. \end{aligned} \quad (17)$$

В масштабнoинвариантной среде решение данной системы уравнений зависит от масштаба l степенным образом и эффективные уравнения имеют вид

$$\begin{aligned} \operatorname{rot}\mathbf{H}(\mathbf{x}, l) &= -i\omega \left(\frac{l}{L}\right)^{\langle\chi\rangle - \Phi_0^{\chi\chi}/6} \varepsilon_l(\mathbf{x}) \mathbf{E}(\mathbf{x}, l) + \left(\frac{l}{L}\right)^{\langle\varphi\rangle + \frac{2}{3}\Phi_0^{\chi\varphi} - \frac{1}{3}\Phi_0^{\chi\chi} - \frac{1}{2}\Phi_0^{\varphi\varphi}} \sigma_l(\mathbf{x}) \mathbf{E}(\mathbf{x}, l), \\ \operatorname{rot}\mathbf{E}(\mathbf{x}, l) &= i\omega\mu\mathbf{H}(\mathbf{x}, l). \end{aligned} \quad (18)$$

3. Численное моделирование

Для проверки приведённых выше формул численно решается задача (1). Используются следующие безразмерные переменные: $\hat{\mathbf{x}} = \mathbf{x}/L_0$, $\hat{\sigma} = \sigma/\sigma_0$, $\hat{\mathbf{H}} = \mathbf{H}/H_0$, $\hat{\mathbf{E}} = \frac{L_0\sigma_0}{k_1 H_0} \mathbf{E}$,

$k_1 = L_0\sqrt{\sigma_0\mu\omega}$, $k = k_1\sqrt{\hat{\sigma} - i\kappa\hat{\varepsilon}}$, $\kappa = \frac{\omega\varepsilon_0}{\sigma_0}$. В расчётах $\kappa = 5$, $k_1 = 4\sqrt{2}$. Таким образом, задача решается при $\sigma_0 = 1$, $\varepsilon_0 = 1$. В безразмерном виде уравнения имеют вид

$$\begin{aligned} \operatorname{rot}\hat{\mathbf{H}} &= (\hat{\sigma} - i\kappa\hat{\varepsilon}) k_1 \hat{\mathbf{E}}, \\ \operatorname{rot}\hat{\mathbf{E}} &= ik_1 \hat{\mathbf{H}}. \end{aligned} \quad (19)$$

Область интегрирования разбивается на три подобласти. В области $0 \leq \hat{x}_i < 0.1$, $1.5 < \hat{x}_i \leq 1.6$ помещается поглощающий слой [21]. Для этого производится замена

переменных $s_{x_i}(\hat{x}_i) = \frac{d\xi_i}{d\hat{x}_i} = 1 + i\eta(\hat{x}_i)$, которая обеспечивает экспоненциальное затухание волны в поглощающем слое. Функция $\eta(\hat{x}_i)$ для наших данных выбиралась в виде

$$\eta(\hat{x}_i) = \begin{cases} 3.5 \left(\frac{0.1 - \hat{x}_i}{0.1} \right)^2, & 0 \leq \hat{x}_i < 0.1, \\ 0, & 1.1 \leq \hat{x}_i < 1.5, \\ 3.5 \left(\frac{1.6 - \hat{x}_i}{0.1} \right)^2, & 1.5 \leq \hat{x}_i < 1.6. \end{cases}$$

Таким образом, переменные ξ_i отличаются от переменных \hat{x}_i только в поглощающем слое. В областях $0.1 \leq \hat{x}_i < 0.3$, $1.3 \leq \hat{x}_i < 1.5$ коэффициенты $\hat{\varepsilon}$ и $\hat{\sigma}$ равны 1. В точке $(0, 0, 0.2)$ находится источник $F_{\hat{x}_1} = 0$, $F_{\hat{x}_2} = 0$, $F_{\hat{x}_3} = 0.5 \exp -q^2(\hat{x}_3 - 0.2)^2$, $q = 60$. В области $0.3 \leq \hat{x}_i < 1.3$ проводимость и диэлектрическая проницаемость моделируются мультипликативными каскадами. Интегралы (3), (5) аппроксимируются конечно-разностными формулами, в которых удобно перейти к логарифму по основанию 2:

$$\begin{aligned} \sigma(\hat{\mathbf{x}})_{l_0} &= \exp \left[-\ln 2 \int_{\log_2 l_0}^{\log_2 L} \varphi(\hat{\mathbf{x}}, \tau_i) d\tau \right] \approx 2^{-\sum_{i=-8}^0 \varphi(\hat{\mathbf{x}}, \tau_i) \Delta\tau}, \\ \varepsilon(\hat{\mathbf{x}})_{l_0} &= \exp \left[-\ln 2 \int_{\log_2 l_0}^{\log_2 L} \chi(\hat{\mathbf{x}}, \tau) d\tau \right] \approx 2^{-\sum_{i=-8}^0 \chi(\hat{\mathbf{x}}, \tau_i) \Delta\tau}. \end{aligned} \quad (20)$$

Здесь $\langle \sigma(\hat{\mathbf{x}})_{l_0} \rangle = 1$, $\langle \varepsilon(\hat{\mathbf{x}})_{l_0} \rangle = 1$, $l = 2^\tau$, $\Delta\tau$ — шаг по τ . В расчётах $\Delta\tau$ выбирается равным 1. В показателе степени (20) стоит сумма статистически независимых слагаемых, поскольку предполагается статистическая независимость для полей с различными масштабами. Для расчётов используются два слагаемых с $i = -5$, $i = -4$. Остальные слагаемые полагаются равными нулю. Количество слагаемых выбиралось так, чтобы масштаб самых крупных вариаций проводимости и диэлектрической проницаемости позволил заменить приближённо вероятностные средние величины осреднёнными по пространству, а самых мелких — так, чтобы разностная задача хорошо аппроксимировала уравнения (19). При каждом i поля строятся по формулам

$$\begin{aligned} \varphi(\hat{\mathbf{x}}, \tau_k) &= \sqrt{\frac{\Phi_0^{\varphi\varphi}}{\ln 2}} \zeta_1(\hat{\mathbf{x}}, \tau_k) + \frac{\Phi_0^{\varphi\varphi}}{2}, \\ \chi(\hat{\mathbf{x}}, \tau_k) &= \sqrt{\frac{\Phi_0^{\chi\chi}}{\ln 2}} \left(r \zeta_1(\hat{\mathbf{x}}, \tau_k) + \sqrt{1 - r^2} \zeta_2(\hat{\mathbf{x}}, \tau_k) \right) + \frac{\Phi_0^{\chi\chi}}{2}, \end{aligned}$$

где поля ζ_1 , ζ_2 — независимые, гауссовы, с единичной дисперсией, нулевым средним и корреляционной функцией

$$\langle \zeta_1(\hat{\mathbf{x}}, \tau_i) \zeta_1(\hat{\mathbf{y}}, \tau_j) \rangle_c = \langle \zeta_2(\hat{\mathbf{x}}, \tau_i) \zeta_2(\hat{\mathbf{y}}, \tau_j) \rangle_c = \exp \left[-(\mathbf{x} - \mathbf{y})^2 / 2^{2\tau_i} \delta_{ij} \right].$$

Коэффициент $\Phi_0^{\varphi\chi}$ в этом случае равен $r \sqrt{\Phi_0^{\chi\chi} \Phi_0^{\varphi\varphi}}$. Поля ζ_1 , ζ_2 моделируются с помощью метода, изложенного в [22]. При расчётах r полагалось равным единице. Коэффициенты Φ_0 должны выбираться из экспериментальных данных. В нашем расчёте они равны 0.4, а $\langle \varphi \rangle = \langle \chi \rangle = 0.2$. На рис. 1 приведено поле проводимости для выбранных

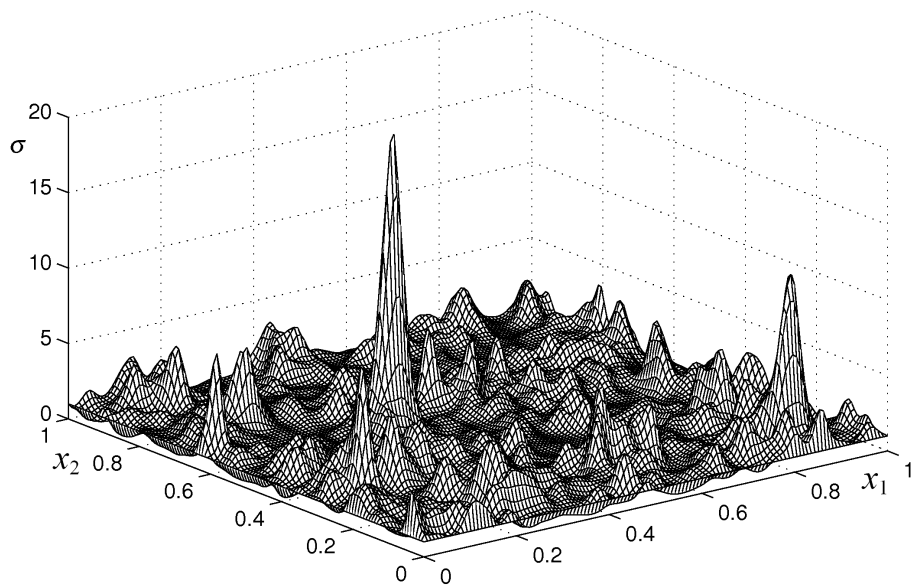


Рис. 1. Поле проводимости для двух масштабов $i = -5, -4$ вычисленное по формуле (20) в среднем сечении $x_3 = 1/2$

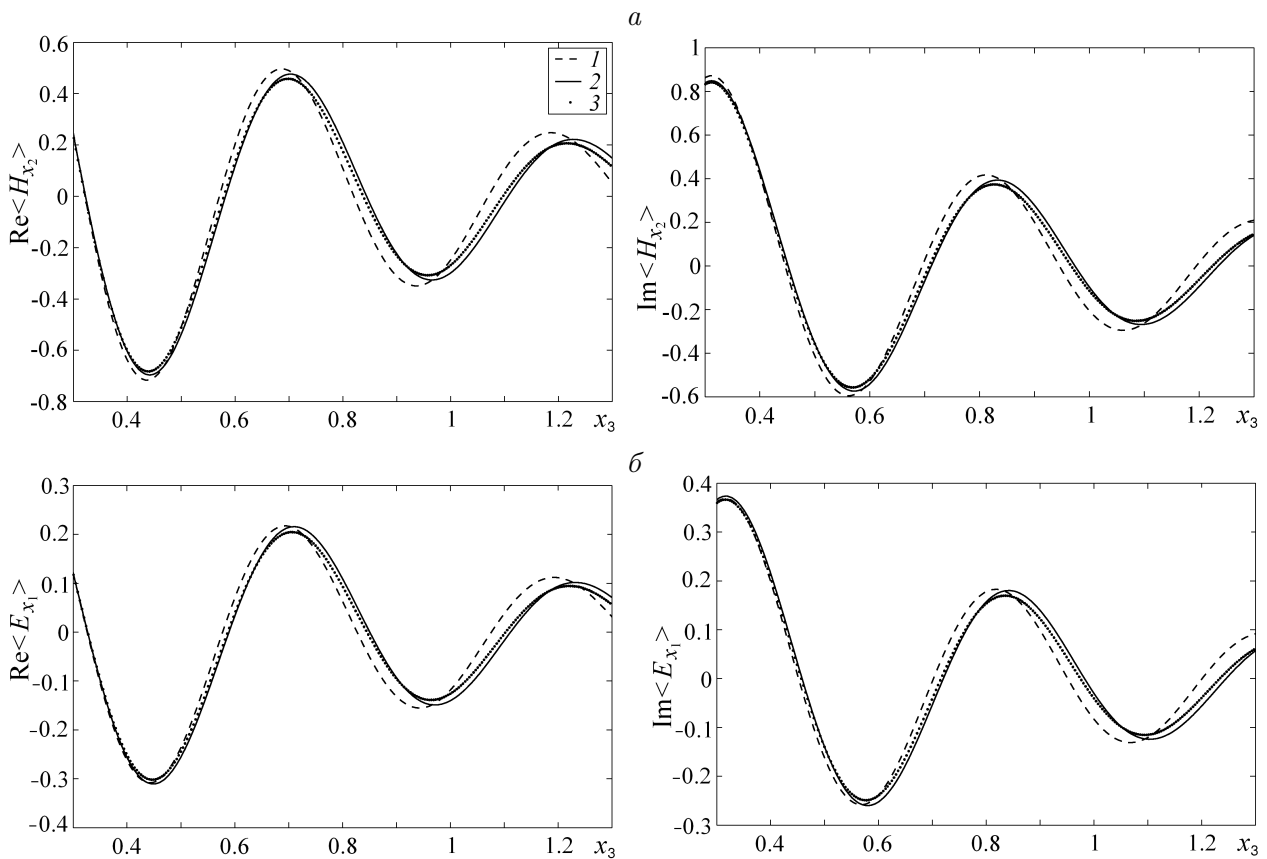


Рис. 2. Результаты расчёта компонент реальной и мнимой частей напряжённости магнитного поля по оси x_2 (а) и электрического поля по оси x_1 (б): 1 — для усреднённых коэффициентов (при $\sigma = 1, \varepsilon = 1$); 2 — для эффективных коэффициентов; 3 — усреднённый по 48 реализациям результат, полученный с помощью прямого численного моделирования

масштабов в среднем сечении $x_3 = 0.5$. Для решения уравнений (19) использовались метод, основанный на конечно-разностной схеме Yee, и метод декомпозиции, предложенный в [23]. Последний позволяет разбить задачу на восемь подзадач, каждая из которых решалась независимо на параллельной машине. Затем собиралось общее решение. Задача решалась на сетке $412 \times 412 \times 412$ с постоянным шагом по всем переменным $1/256$. Результаты расчётов приведены на рис. 2. В соответствии с процедурой вывода подсеточных формул для проверки необходимо много раз решить полную задачу и выполнить вероятностное усреднение по мелкомасштабным вариациям (кривая 3). В итоге получится решение, которое можно сопоставить с решением эффективных уравнений (18). Для сравнения приводится также решение уравнений со средними значениями коэффициентов проводимости и диэлектрической проводимости (кривая 1). Усреднение по ансамблю Гиббса требует многократного решения полной задачи. В работе применяется более экономный вариант проверки. Решение при каждом значении x_3 усредняется по плоскостям (x_1, x_2) , а затем проводится доусреднение по ансамблю. В расчётах использовались 48 реализаций.

Результаты численного моделирования показали, что длина волны для усреднённых полей увеличивается на 5 % по сравнению с длиной, полученной для средних коэффициентов (кривые 1, 3, см. рис. 2). Эффективные коэффициенты (кривая 2) дают ошибку по длине волны только 0.5 %. Ошибка по амплитуде для эффективного решения меньше в два раза по сравнению с ошибкой, которую дают усреднённые коэффициенты.

Заключение

В работе рассчитаны эффективные коэффициенты для уравнений Максвелла в случае, если коэффициенты в этих уравнениях описываются крайне нерегулярными множествами, близкими к мультифракталам. Мультифракталы получаются при устремлении минимального масштаба l_0 к нулю. Поскольку минимальный масштаб остается конечным, то какие-либо сингулярности отсутствуют. Канторовы множества при этом не возникают, и весь анализ не выходит за пределы аппарата дифференциальных уравнений и теории случайных процессов. В масштабнойинвариантной среде эффективные коэффициенты степенным образом зависят от масштаба сглаживания. Показано, что рассчитанные эффективные коэффициенты дают хорошее согласие с усреднённым решением, полученным прямым численным моделированием.

Список литературы

- [1] MIKHAILENKO B.G., SOBOLEVA O.N. Mathematical modeling of seismomagnetic effects arising in the seismic wave motion in Earth's constant magnetic field // *Appl. Math. Lett.* 1997. Vol. 10, No. 3. P. 47–55.
- [2] МАСТРЮКОВ А.Ф., МИХАЙЛЕНКО Б.Г. Численное решение уравнений Максвелла в анизотропных средах на основе спектрального преобразования Лагерра // *Геология и геофизика.* 2008. № 8. С. 819–829.
- [3] ЭПОВ М.И., ШУРИНА Э.П., НЕЧАЕВ О.В. Прямое трёхмерное моделирование векторного поля для задач электромагнитного каротажа // Там же. 2007. № 9. С. 989–995.
- [4] YUKALOV V.I., GLUZMAN S. Self-similar bootstrap of divergent series // *Phys. Rev. E.* 1997. Vol. 55. P. 6552–6570.

- [5] YUKALOV V.I. Self-similar approximations for strongly interacting systems // Phys. A. 1990. Vol. 167. P. 833–860.
- [6] GLUZMAN S., SORNETTE D. Self-similar approximants of the permeability in heterogeneous porous media from moment equation expansions // Transport in Porous Media. 2008. Vol. 71. P. 75–97.
- [7] GERMANO M., MOIN P., PIOMELLI U., CABOT W.H. A dynamic subgrid scale eddy viscosity model // Phys. Fluids. A. 1991. Vol. 3, No. 7. P. 1760–1765.
- [8] GERMANO M., SAGAT P. Large Eddy Simulation for Incompressible Flow. Berlin, Heidelberg: Springer, 1998.
- [9] SAHIMI M. Flow phenomena in rocks: From continuum models, to fractals, percolation, cellular automata, and simulated annealing // Rev. of Modern Phys. 1993. Vol. 65. P. 1393–1534.
- [10] DAGAN G. Higher-order correction of effective permeability of heterogeneous isotropic formations of lognormal conductivity distribution // Transport in Porous Media. 1993. Vol. 12. P. 279–290.
- [11] BISWAL B., MANWART C., HILFER R. Three-dimensional local porosity analysis of porous media // Phys. A. 1998. Vol. 255. P. 221–241.
- [12] БОБРОВ Н.Ю., ЛЮБЧИЧ В.А., КРЫЛОВ С.С. Масштабная зависимость кажущегося сопротивления и фрактальная структура железистых кварцитов // Изв. РАН. Физика Земли. 2002. № 12. С. 14–21.
- [13] BEKELE A., HUDNALL H.W., DAIGLE J.J. ET AL. Scale dependent variability of soil electrical conductivity by indirect measures of soil properties // J. of Terramech. 2005. Vol. 42. P. 339–351.
- [14] ЛАНДАУ Л.Д., ЛИФШИЦ Е.М. Электродинамика сплошных сред. М.: Наука, 1982.
- [15] КУЗЬМИН Г.А., СОБОЛЕВА О.Н. Подсеточное моделирование фильтрации в пористых автомодельных средах // ПМТФ. 2002. Т. 43, № 4. С. 115–126.
- [16] KOLMOGOROV A.N. A refinement of previous hypotheses concerning the local structure of turbulence in a viscous incompressible fluid at high Reynolds number // J. Fluid Mech. 1962. Vol. 13. P. 82–85.
- [17] МОНИН А.С., ЯГЛОМ А.М. Статистическая гидромеханика. Т. 2. М.: Наука, 1975.
- [18] ГНЕДЕНКО Б.В., КОЛМОГОРОВ А.Н. Предельные распределения для сумм независимых случайных величин. Л.: Гостехиздат, 1954.
- [19] ГЛИНЕР Э.Б., КОШЛЯКОВ Н.С., СМИРНОВ М.М. Основные дифференциальные уравнения математической физики. М.: Физматгиз, 1962.
- [20] КРАВЦОВ Ю.А., РЫТОВ С.М., ТАТАРСКИЙ В.И. Введение в статистическую радиофизику. М.: Наука, 1978.
- [21] CHEW W., JIN J., MICHIELSEN E., SONG J. Fast and Efficient Algorithms in Computational Electromagnetics. Artech House, 2001.
- [22] OGORODNIKOV V.A., PRIGARIN S.M. Numerical Modeling of Random Processes and Fields: Algorithms and Applications. Utrecht, Netherlands, 1996.
- [23] DAVYDYCHEVA S., DRUSHKIN V., HAVASHY T. An efficient finite-difference scheme for electromagnetic logging in 3D anisotropic inhomogeneous media // Geophysics. 2003. Vol. 68. P. 1525–1536.